

## О СТРУКТУРЕ ФРОНТА УДАРНОЙ ВОЛНЫ, РАСПРОСТРАНЯЮЩЕЙСЯ ПОД УГЛОМ К МАГНИТНОМУ ПОЛЮ В РАЗРЕЖЕННОЙ ПЛАЗМЕ

B. I. Карпман

Исследуется структура фронта ударной волны, распространяющейся под углом к магнитному полю в разреженной плазме при  $\frac{H^2}{8\pi} \gg p$ .

### § 1. Введение

В работе<sup>[1]</sup> была получена ламинарная структура фронта ударной волны, распространяющейся поперек магнитного поля в разреженной плазме в сильном магнитном поле ( $\frac{H^2}{8\pi} \gg p$ ). В этой работе было показано, что профиль фронта ударной волны носит осцилляторный характер, если частота столкновений электронов с ионами  $\gamma_{ei}$ , определяющая Джоулеву диссипацию,<sup>1</sup> достаточно мала, а именно

$$\gamma_{ei} \ll \frac{c_A}{a(M-1)}, \quad (1.1)$$

где  $M$  — число Маха;  $c_A = \frac{H}{\sqrt{4\pi nm_i}}$  — ионная альфеновская скорость;  $a$  — длина электронной дисперсии

$$a = \frac{c}{\omega_{0e}} = c \sqrt{\frac{m_e}{4\pi ne^2}}, \quad (1.2)$$

определяющая ширину уединенной волны, получающейся из ударной, когда частота столкновений исчезает.<sup>2</sup> Ширина фронта ударной волны при условии (1.1) может стать значительно меньше свободного пробега (если  $\sqrt{\frac{H^2}{8\pi nT}} \ll \frac{m_i}{m_e}$ ), что позволяет рассматривать такую волну как „бесстолкновительную“ (именно в таком смысле мы и будем употреблять в дальнейшем этот термин).

Основную роль в формировании структуры фронта бесстолкновительных ударных волн, распространяющихся поперек магнитного поля, играют дисперсионные эффекты, обусловленные инерцией электронов, а основным параметром длины является длина электронной дисперсии (1.2) (подробнее см. [1, 3]).

Ионные же колебания, распространяющиеся перпендикулярно  $H$  при частотах  $\omega \ll \sqrt{\omega_{0i}\omega_{Pi}}$ , обладают, как известно, линейным законом дисперсии и поэтому на структуру фронта волны, распространяющейся поперек магнитного поля, влияния не оказывают. Однако, ионная дисперсия

<sup>1</sup> Другими видами диссипации при  $p \ll \frac{H^2}{8\pi}$  можно пренебречь.

<sup>2</sup> Качественные соображения о возможности осцилляторной структуры ударных волн в достаточно разреженной плазме высказывались в работах [2].

начинает играть основную роль для бесстолкновительных ударных волн, распространяющихся не перпендикулярно к магнитному полю даже при очень малых отклонениях от перпендикулярности, а именно,  $\theta \geqslant \sqrt{\frac{m_e}{m_i}}$ , где  $\theta$  — угол между плоскостью фронта и направлением  $\mathbf{H}$ .

В настоящей работе рассматриваются ударные волны, распространяющиеся под любым углом к магнитному полю, кроме  $\theta \leqslant \sqrt{\frac{m_e}{m_i}}$ ,  $\frac{\pi}{2} - \theta \ll 1$ .

### Система основных уравнений

Характерные частоты всех движений, рассматриваемых в этой работе, много меньше электронной лармовской частоты. Кроме того, мы пренебрегаем отклонениями от квазинейтральности ( $n_i = n_e = n$ ) и считаем плазму достаточно „холодной“ ( $p \ll \frac{H^2}{8\pi}$ ). При этих условиях уравнения для электронной и ионной компонент плазмы принимают вид

$$m_i \frac{d\mathbf{v}_i}{dt} = e\mathbf{E} + \frac{e}{c} [\mathbf{v}_i \mathbf{H}] - \gamma_{ei} m_e \mathbf{v}_e, \quad (2.1)$$

$$m_e \frac{d\mathbf{v}_e}{dt} = -e\mathbf{E} - \frac{e}{c} [\mathbf{v}_e \mathbf{H}] - \gamma_{ei} m_e \mathbf{v}_e, \quad (2.2)$$

$$\text{rot } \mathbf{H} = \frac{4\pi ne}{c} (\mathbf{v}_i - \mathbf{v}_e), \quad (2.3)$$

$$\frac{\partial \mathbf{H}}{\partial t} = -c \text{rot } \mathbf{E}, \quad (2.4)$$

$$\frac{\partial n}{\partial t} + \text{div}(n\mathbf{v}_i) = 0, \quad \text{div } \mathbf{H} = 0, \quad (2.5)$$

где  $\gamma_{ei}$  — эффективная частота столкновений электронов с ионами. Исключая теперь  $\mathbf{E}$  из (2.1)–(2.2) и (2.1)–(2.4) и подставляя  $\mathbf{v}_e$  из (2.3) в (2.1), получим следующую систему уравнений (при этом предполагается, что  $\gamma_{ei} \ll \omega_{Hi}$ )

$$\frac{\partial \mathbf{V}}{\partial t} + (\mathbf{V} \nabla) \mathbf{V} = \frac{1}{4\pi nm} [\text{rot } \mathbf{H} \mathbf{H}], \quad (2.6)$$

$$\frac{\partial \mathbf{H}}{\partial t} = \text{rot} [\mathbf{V} \mathbf{H}] + \frac{c^2}{4\pi\sigma} \Delta \mathbf{H} - \frac{c}{4\pi e} \text{rot} \left\{ \frac{1}{n} [\text{rot } \mathbf{H} \mathbf{H}] \right\}, \quad (2.7)$$

$$\frac{\partial n}{\partial t} + \text{div}(n\mathbf{V}) = 0, \quad \text{div } \mathbf{H} = 0. \quad (2.8)$$

Здесь и в дальнейшем  $\mathbf{v}_i$ ,  $m_i$  обозначены через  $\mathbf{V}$ ,  $m$ , а электропроводность выражается через частоту столкновений соотношением

$$\sigma = \frac{ne^2}{m_e \gamma_{ei}}. \quad (2.9)$$

Уравнения (2.6)–(2.8) представляют собой систему основных уравнений разреженной плазмы, пригодную для описания движений с частотами, сравнимыми и большими  $\omega_H = \frac{eH}{mc}$  — ионной лармовской частоты. Область ее применимости определяется неравенствами

$$\omega \ll \sqrt{\omega_{Hi} \omega_{He}}, \quad \omega \ll \omega_{0i} = \sqrt{\frac{4\pi ne^2}{m_i}}. \quad (2.10)$$

Система (2.6)–(2.8) отличается от уравнений обычной магнитной гидродинамики холодной плазмы последним членом в уравнении (2.7), который становится малым при частотах, много меньших  $\omega_H$ . Этот член описывает характерные дисперсионные эффекты при  $\omega \geq \omega_H$ , и поэтому систему (2.6)–(2.8) можно называть уравнениями „магнитной гидродинамики с ионной дисперсией“.

### § 3. Дифференциальное уравнение, описывающее структуру. Исследование профиля ударной волны

Удобно выбрать систему координат так, чтобы ось  $X$  была направлена вдоль движения плазмы перед фронтом ударной волны, а плоскость  $XY$  проходила через направление напряженности  $\mathbf{H}$  перед фронтом. В системе, где фронт покойится, все величины будут зависеть только от  $x$ . Из уравнений непрерывности (2.8) получаем

$$nV_x = j = \text{const}, \quad H_x = H_0 = \text{const}. \quad (3.1)$$

При нашем выборе системы координат граничные условия при  $x \rightarrow -\infty$  будут иметь вид

$$V_{1x} = u_1, \quad V_{1y} = V_{1z} = 0, \quad (3.2)$$

$$H_{1y} = H_1, \quad H_{1z} = 0 \quad (3.3)$$

( $V_{1x}$ ,  $V_{2x}$  и т. д. — предельные значения соответствующих величин при  $x \rightarrow -\infty$ ,  $+\infty$ , соответственно). Учитывая (3.1)–(3.3) и одномерность движения, из основных уравнений (2.6), (2.7) легко получить

$$V_x = u_1 - \frac{H_y^2 + H_z^2 - H_1^2}{8\pi m j}, \quad (3.4)$$

$$V_y = \frac{H_0}{4\pi m j} (H_y - H_1), \quad (3.5)$$

$$V_z = \frac{H_0 H_z}{4\pi m j}, \quad (3.6)$$

$$V_y H_0 - V_x H_y + \frac{c^2}{4\pi \sigma} H'_y + \frac{mc}{e} V_x V'_z = -u_1 H_1, \quad (3.7)$$

$$V_z H_0 - V_x H_z + \frac{c^2}{4\pi \sigma} H'_z - \frac{mc}{e} V_x V'_y = 0. \quad (3.8)$$

Из этих уравнений следуют, прежде всего, предельные соотношения, связывающие величины с обеих сторон фронта ударной волны, т. е. соотношения для скачков на „разрыве“; из (3.5), (3.7) и (3.6)–(3.8) вытекает ( $H_2 = H_{2y}$ ,  $u_2 = V_{2x}$ )

$$\frac{H_0^2}{4\pi m j} (H_2 - H_1) = u_2 H_2 - u_1 H_1, \quad (3.9)$$

$$\left( \frac{H_0^2}{4\pi m j} - u_2 \right) H_{2z} = 0. \quad (3.10)$$

Из (3.9), (3.10) следует, что  $H_{2z}$  может быть отличным от нуля только при условии  $u_2 = u_1 = \frac{H_0^2}{4\pi m j}$ . Это соответствует скачку вращательного типа, который мы здесь рассматривать не будем. Поэтому можно считать, что

$$H_{2z} = 0, \quad V_{2z} = 0. \quad (3.11)$$

Последнее равенство следует из (3.6).

Из (3.4), (3.5), (3.7), (3.8) легко получить

$$u_1 = \frac{H_0^2}{4\pi m j} + \frac{H_2^2 + H_1 H_2}{8\pi m j}, \quad (3.12)$$

$$u_2 = \frac{H_0^2}{4\pi m j} + \frac{H_1^2 + H_1 H_2}{8\pi m j}, \quad (3.13)$$

$$V_{2y} = \frac{H_0(H_2 - H_1)}{4\pi m j}. \quad (3.14)$$

Заметим, что соотношения между предельными величинами на разрыве (3.11)–(3.14) совпадают с соответствующими уравнениями магнитной гидродинамики при  $\frac{H^2}{8\pi} \gg p$  [4]. Таким образом, учет ионной дисперсии не приводит к изменениям условий на разрыве. Это связано с тем, что дополнительные члены, описывающие дисперсию [члены с  $\frac{mc}{e}$  в (3.7), (3.8)], содержат производные и обращаются в нуль при  $x \rightarrow \pm \infty$ . Однако структура разрыва определяется именно этими членами.

Заметим также, что условия эволюционности [5] приводят к неравенству

$$u_1 > u_2. \quad (3.15)$$

Из (3.12), (3.13) тогда вытекает, что поперечная составляющая магнитного поля после прохождения волны усиливается

$$H_2 > H_1. \quad (3.16)$$

Подставляя (3.4)–(3.6) в (3.7), (3.8), получим

$$\frac{H_y^2 + H_z^2 - H_1^2}{8\pi m j} H_y - u_0(H_y - H_1) + \frac{c^2}{4\pi\sigma} H'_y + \frac{cH_0 V_x}{4\pi n e u_1} H'_z = 0, \quad (3.17)$$

$$\left( \frac{H_y^2 + H_z^2 - H_1^2}{8\pi m j} - u_0 \right) H_z + \frac{c^2}{4\pi\sigma} H'_z - \frac{cH_0 V_x}{4\pi n e u_1} H'_y = 0, \quad (3.18)$$

где обозначено

$$u_0 = u_1 - \frac{H_0^2}{4\pi m j} = \frac{(H_1 + H_2) H_2}{8\pi m j}. \quad (3.19)$$

Как и в (1), мы ограничимся исследованием слабых ударных волн, т. е. будем считать, что

$$u_1 - u_2 \ll u_1. \quad (3.20)$$

Только в этом случае можно пренебречь перепадом газокинетического давления по сравнению с магнитным, а также считать, что электропроводность  $\sigma$  (2.9) приблизительно постоянна внутри фронта волны. Благодаря (3.20) мы можем заменить в последних членах (3.17), (3.18)  $V_x$  на  $u_1$ . В (3.18) можно также пренебречь членом  $\frac{c^2}{4\pi\sigma} H'_z$  по сравнению с последним, поскольку частота столкновений удовлетворяет условию

$$\gamma_{ei} \ll \omega_{He} = \frac{eH}{m_e c}. \quad (3.21)$$

Учитывая граничные условия для  $H_z (H_z \rightarrow 0)$  при  $x \rightarrow \pm\infty$ , легко убедиться, что можно опустить  $H_z^2$  в первых членах (3.17) и (3.18). После этих пренебрежений система (3.17), (3.18) сводится к следующему уравнению

$$\begin{aligned} A^2 \frac{d}{dx} \left[ \left( 1 - \frac{H^2 - H_1^2}{8\pi m j u_0} \right)^{-1} \frac{dH}{dx} \right] - \\ - B \frac{dH}{dx} - \frac{H^2 - H_1^2}{8\pi m j u_0} H + H - H_1 = 0, \end{aligned} \quad (3.22)$$

$$A = \left( \frac{e H_0}{m_i c} \right) \frac{c^2}{\omega_{0i}^2 u_0}; \quad B = \frac{c^2}{4\pi \sigma u_0}. \quad (3.23)$$

Здесь и в дальнейшем обозначено  $H_y \equiv H$ .

Приступим к решению уравнения (3.22). Введем обозначения

$$1 - \frac{H_1^2}{8\pi m j u_0} = D^2,$$

$$H_2^2 + H_1 H_2 + H_1^2 \equiv 8\pi m j u_0 \alpha = \eta^2. \quad (3.24)$$

Тогда (3.22) примет вид

$$A^2 D^2 \frac{d}{dx} \left[ \left( 1 - \frac{H^2}{\eta^2} \right)^{-1} \frac{dH}{dx} \right] - B \frac{dH}{dx} + D^2 H \left( 1 - \frac{H^2}{\eta^2} \right) + H_1 = 0. \quad (3.25)$$

Для решения этого уравнения удобно перейти к новой независимой переменной  $x = x(u)$ , так чтобы

$$\frac{du}{dx} = 1 - \frac{H^2}{\eta^2}, \quad (3.26)$$

откуда следует

$$\frac{dH}{du} = \left( 1 - \frac{H^2}{\eta^2} \right)^{-1} \frac{dH}{dx}. \quad (3.27)$$

Подстановка (3.26), (3.27) в (3.25) приводит это уравнение к виду

$$\frac{d^2 H}{du^2} - \beta \frac{dH}{du} + \alpha H - \frac{H_1}{A^2 D^2 \left( 1 - \frac{H^2}{\eta^2} \right)} = 0, \quad (3.28)$$

$$\beta = \frac{B}{A^2 D^2}, \quad \alpha = \frac{1}{A^2}. \quad (3.29)$$

Для решения этого уравнения можно применить наглядную аналогию, предложенную ранее в работе [1], а именно, это есть уравнение движения частицы (роль координаты играет  $H$ , времени —  $u$ ) в эффективной потенциальной яме вида

$$V(H) = \frac{1}{4A^2} \left[ H^2 - H_1^2 - \frac{\eta H_1}{D^2} \frac{\left( 1 + \frac{H}{\eta} \right) \left( 1 - \frac{H_1}{\eta} \right)}{\left( 1 - \frac{H}{\eta} \right) \left( 1 + \frac{H_1}{\eta} \right)} \right] \quad (3.30)$$

с отрицательным „трением“ —  $\beta$ . График этого потенциала представлен на рис. 1. Минимум имеет место в точке  $H_1$ , а максимум в точке  $H_2$ . Благодаря отрицательному трению, „равновесие“ в точке  $H_1$  неустойчиво и „движение“, начинающееся в точке  $H_1$ , заканчивается в точке  $H_2$ .

Характер „движения“ может быть периодическим или апериодическим в зависимости от соотношения между коэффициентом „трения“  $\beta$  и длиной дисперсии  $A$ . В достаточно плотной плазме, когда число столкновений  $i$ , следовательно, коэффициент  $\beta$  велик, т. е. при условии

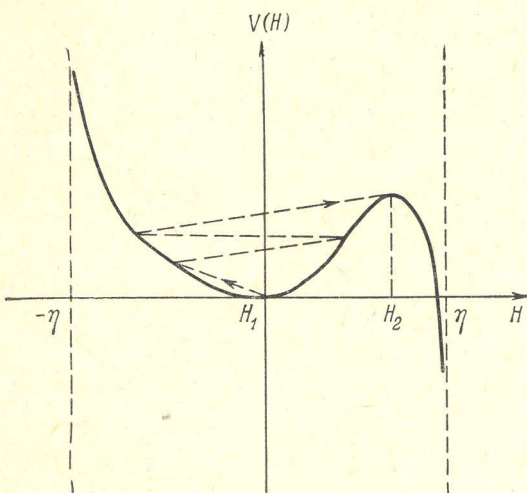


Рис. 1. График „эффективного потенциала“  $V(H)$ .

$$\beta > \frac{2D}{A} \left( 1 - \frac{3H_1^2}{\eta^2} \right)^{1/2} \quad (3.31)$$

рост магнитного поля внутри фронта имеет апериодический характер и при

$$\beta \gg \frac{2D}{A} \left( 1 - \frac{3H_1^2}{\eta^2} \right)^{1/2}$$

$$\left( \gamma_{ei} \gg \frac{eH_0}{m_e c} \left( 1 - \frac{3H_1^2}{\eta^2} \right)^{1/2} \right) \quad (3.32)$$

совпадает с известным гидродинамическим профилем, определяемым магнитной вязкостью. Соответственно этому положение „равновесия“ на фазовой плоскости является точкой типа „узел“ (рис. 2,  $a$ ). В разреженной плазме с достаточно малым числом столкновений [условие, обратное (3.32)]

$$\gamma_{ei} \ll \frac{eH_0}{m_e c} \left( 1 - \frac{3H_1^2}{\eta^2} \right)^{1/2} \quad (3.33)$$

особая точка  $H = H_1$  становится „фокусом“ (рис. 2,  $b$ ).

Характер особых точек на фазовой плоскости и общий ход кривых, разумеется, не меняются при переходе от переменной  $u$  к переменной  $x$ ,

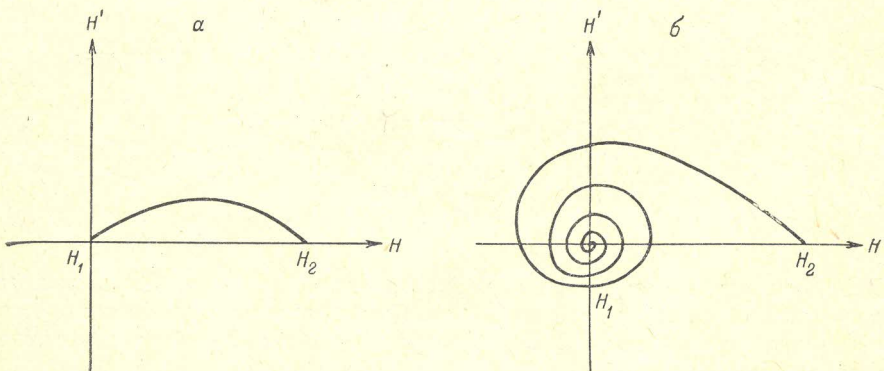


Рис. 2. Вид фазовых кривых в случаях достаточно большой (a) и малой (б) частоты столкновений.

ибо  $H'_x = H'_u \left( 1 - \frac{H^2}{\eta^2} \right)$ , причем  $1 - \frac{H^2}{\eta^2} > 0$ . Поэтому все сказанное и рисунки (2,  $a$ ,  $b$ ) можно также считать относящимся к фазовой плоскости  $(H, H'_x)$ .

Отсюда вытекает следующий ход профиля ударной волны (рис. 3). Профиль начинается с малых осцилляций, переходящих в серию уеди-

ненных волн „разрежения“. Последние постепенно переводят магнитное поле к значению  $H_2$ .<sup>3</sup>

Магнитное поле внутри фронта достигает значений меньших, чем в невозмущенной плазме. Общая картина профиля ударной волны является перевернутой по отношению к профилю, полученному в [1] для случая ударной волны, распространяющейся поперек магнитного поля, где фронт начинается с уединенных волн „сжатия“, переходящих в малые осцилляции. Причиной этого обращения является противоположный характер закона дисперсии, определяющей структуру фронта. Если для случая волны, распространяющейся перпендикулярно магнитному полю, дисперсия определяется инерцией электронов и  $\frac{\omega}{k}$  убывает с ростом  $k$ ,

то в нашем случае  $\frac{\omega}{k}$  растет с  $H$  ростом  $k$  (см. [3], стр. 93).

Рассмотрим более детально осцилляции в передней части профиля фронта. Полагая в (3.25)  $H = H_1 + h$ , где  $h \ll \eta \sim H_2$  (подчеркнем, что мы не требуем малости  $h$  по сравнению с  $H_1$ , так как  $H_1$  может быть весьма малым по сравнению с  $H_2$ ), получим

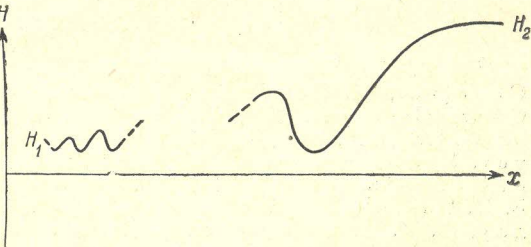


Рис. 3. Профиль изменения магнитного поля во фронте ударной волны в случае достаточно малой частоты столкновений [см. (3.33)].

$$A^2 D^2 h'' - B h' + D^2 \left(1 - \frac{3H_1^2}{\eta^2}\right) h = 0. \quad (3.34)$$

Это уравнение имеет решение

$$h = \text{const } e^{\gamma x} \cos kx, \quad (3.35)$$

$$\gamma = \frac{1}{2} \beta = \frac{B}{2A^2 D^2}, \quad (3.36)$$

$$k = A^{-1} \sqrt{1 - \frac{3H_1^2}{\eta^2}}, \quad (3.37)$$

Эти формулы определяют волновое число и декремент затухания осцилляций в передней части фронта ударной волны.

Рассмотрим теперь случай, когда

$$H_2 - H_1 \ll H_2 \quad (3.38)$$

(продольная же составляющая  $H_0$  может быть любой). Используя (3.38), (3.24), легко привести основное уравнение (3.25) к виду

$$A^2 H'' - \frac{H^2 - H_1^2}{8\pi m_j u_0} - B \frac{dH}{dx} + H - H_1 = 0. \quad (3.39)$$

Это уравнение было получено ранее Р. Э. Сагдеевым для случая когда ударная волна распространяется почти перпендикулярно магнитному полю, причем в этом случае длина дисперсии выражается формулой

$$A \approx \frac{c\theta}{\omega_{0i}}, \quad \sqrt{\frac{m_e}{m_i}} \ll \theta \ll 1. \quad (3.40)$$

<sup>3</sup> Характерный размер последних уединенных волн порядка „длины ионной дисперсии“  $A$ .

(Условие, ограничивающее  $\theta$  снизу, необходимо для пренебрежения инерцией электронов). Таким образом, оказывается, что уравнение (3.39) применимо не только при малых  $\theta$ , но и в более общем случае (3.38) с практически любыми  $\theta$  (кроме исчезающие малых  $\theta \leq \sqrt{\frac{m_e}{m_i}}$ ). При этом длина дисперсии в общем случае дается формулой (3.23), переходящей при  $\operatorname{tg} \theta = \frac{H_0}{H_1} \rightarrow 0$  в (3.40). Качественный же ход профиля, полученный ранее для малых углов, сохраняет свой характер и при больших  $\theta$ .

Пользуюсь возможностью поблагодарить Р. З. Сагдеева за плодотворные обсуждения проблемы.

### Литература

- [1] Р. З. Сагдеев. ЖТФ, XXXI, 1955, 1961.—[2] C. Gardner, H. Goertzel, H. Grad, C. Morawetz, M. Rose a. H. Rubin. Report № 374, Geneva Conference, 1958; L. Davies, R. Liist, A. Schlüter. Zs. f. Naturforsch., 13a, 916, 1958; J. Adlam, J. Allen. Phil. Mag., 3, 448, 1958. R. Sagdeev. Uppsala conference, 1959; C. Morawetz. Preprint, 1959; P. L. Auer, H. Hurwitz, Jr., R. W. Kilb. Phys.-Fl. 4, 1105, 1961.—[3] А. А. Веденов, Е. П. Велихов, Р. З. Сагдеев. Ядерный синтез, 7, 82, 1961.—[4] Л. Д. Ландау, Е. М. Лифшиц. Электродинамика сплошных сред, М., 1958.—[5] Р. В. Половин. УФН, 72, 3, 1960.

Новосибирский государственный  
университет

Поступило в Редакцию  
30 июля 1962 г.